

تأثیر امواج تحریکی شبه ذوزنقه‌ای بر جریان کلسیمی نوع L غشا جسم سلوی نورون F₁ حلزون باغی (Helix aspersa) در روش ثبت داخل سلوی (Voltage and Current Clamp)

توراندخت بلوچ نژاد مجرد Ph.D.^{*}, مهیار جان احمدی Ph.D.^{**}, مهرداد روغنی Ph.D.

^{*} دانشگاه علوم پزشکی ایران، مرکز علوم پایه پزشکی، گروه فیزیولوژی

^{**} دانشگاه علوم پزشکی شهید بهشتی، دانشکده پزشکی، گروه فیزیولوژی

^{*} دانشگاه شاهد، دانشکده پزشکی، گروه فیزیولوژی

[†] آدرس مکاتبه: تهران، صندوق پستی ۱۴۱۵۵-۶۱۸۳، دانشگاه علوم پزشکی ایران، گروه فیزیولوژی

چکیده

هدف: جریانهای یونی دارای رفتار غیرخطی و تحریکات الکتریکی است که می‌تواند در کیتیک فعال یا غیر فعال شدن آنها تأثیر بگذارد. سرعت مراحل دپلاریزه کننده و هیبرپلاریزه کننده امواج تحریک کننده می‌تواند با تأثیر بر ویژگیهای الکترو فیزیولوژیکی جریانهای یونی نحوه فعالیت نورونها را تغییر دهد. در این مطالعه اثر پتانسیلهای فرماتی شبه ذوزنقه‌ای بر ویژگیهای بیوفیزیکی کانال کلسیمی با آستانه بالا نوع L جسم سلوی نورون F₁ در حلزون باغی مورد مطالعه قرار گرفت.

مواد و روشها: نورون F₁ با استفاده از دو شکل پتانسیل فرماتی راست گوش و شبه ذوزنقه‌ای از پتانسیلهای نگهدارنده -۹۰ و -۴۰ میلی ولت تا +۹۰ میلی ولت در رینگر فاقد سدیم و پتانسیم دپلاریزه شدند. سپس نورونهای F₁ در حضور نیفذیبن، آنتاگونیست اختصاصی و انتخابی کانال کلسیمی با آستانه بالا نوع L با استفاده از دو شکل پتانسیلهای فرماتی کلتب شدند.

یافته‌ها: در رینگر فاقد سدیم و پتانسیل پتانسیلهای فرماتی شبه ذوزنقه‌ای در مقایسه با پتانسیلهای فرماتی راست گوش جریان کلسیمی را ۳۶ درصد کاهش داده و ولتاژ آستانه را به طرف پتانسیلهای مثبت تر سوق دادند. در حضور نیفذیبن با آنکه پتانسیلهای فرماتی شبه ذوزنقه‌ای در مقایسه با پتانسیلهای فرماتی راست گوش موجب مثبت تر شدن ولتاژ آستانه شدند ولی در میزان حداقل جریان تغییری به وجود نیاوردند.

نتیجه‌گیری: نتایج حاصل از این تحقیق نشان می‌دهد که هیبرپلاریزاسیون آهسته مرحله پایین رو کلتب ولتاژ با تأثیر بر کیتیک کانالهای یونی، موجب تغییر رفتار آنهاست گردد. شاید بتوان با استفاده از این شکل امواج و یا اشکال دیگر به طور الکترو فیزیولوژیک و بدون استفاده از مهار کننده‌های شیمیایی موجب فعال و یا غیرفعال شدن انتخابی کانالهای یونی شد.

کل واژگان: پتانسیل فرماتی شبه ذوزنقه‌ای، جریان کلسیمی نوع L، نورون F₁، Voltage Clamp

مقدمه

فعالیت الکتریکی آن نام بود (۲۶). قبل از شروع هر آزمایش با قرار دادن حلزونهادر آب، شرایط فیزیولوژیکی یکسانی برای فعال کردن حلزونهای مورد استفاده فراهم می شد. برداشتن بافت پیوندی و جدا کردن نورون F_1 بو سیله پنهایی بسیار ظرفی و بدون استفاده از آنزیم پروتولوژیک انجام می شد. پس از جدا کردن نورون، آنرا در داخل محفظه نگهدارنده بافت با حجم $1/5$ میلی لیتر که داخل آن با یک الاستومر سیلیکون (Sylgard) پوشیده شده بود فرار می دادیم. تمام آزمایشها در حرارت $20-23^{\circ}$ سانتیگراد و در داخل قفس Faraday ثبت می شد.

ثبت داخل سلوالی برای اندازه گیری خواص غیر فعال (پتانسیل استراحت غشا، مقاومت و طرفیت) و فعال غشا سلوالهای عصبی و جریانهای یونی به کار می رود. در این کار تحقیقاتی ثبت داخل سلوالی با استفاده از دو میکروالکترود انجام شد. میکروالکتروودها از لوله های موئینه برسوسیلیکات دارای فیلامن داخلی (Clark Electromedical Instruments, UK) تهیه می شدند. میکروالکتروودها ترتیق کننده جریان و ثبت کننده ولتاژ در داخل نگهدارندهای (Perspex) مجزایی که مستقیماً به پری آپلی فایر (Headstage) متصل شده بودند فرار گرفته و در داخل هر میکروالکترود شبیه ای سیم نقره ای با قطر $8/0$ میلی متر که بخشی از آن توسط روکش AgCl پوشیده شده بود (Ag/AgCl) فرار داده می شد. متوسط مقاومت نرک میکروالکتروودها ($Mean \pm SD$) 6 ± 0.63 مگا اهم بود. این میکروالکتروودها با محلول کلرید پتاسیم سه مولار پر شده و به آمپلی فایر (Axoclamp2B Axon instruments, Inc Burlingame, USA) متصل می شدند. الکترود مرجع (پل آگاری) حاوی کلرید پتاسیم سه مولار و آگار حل شده در رینگر استاندارد، به منظور کاستن مقاومت سری در داخل محفظه نگه دارنده بافت، نزدیک به گانگلیون قرار داده می شد. جایگزینی محلولها با یکدیگر در داخل محفظه، از طریق یک پمپ پروفیوژن به سرعت 4 میلی لیتر در دقیقه انجام می شد. پاسخ غشا سلول به صورت تغییرات ولتاژ با جریان با استفاده از یک مدل آنالوگ به دیجیتال و دیجیتال به آنالوگ 16 بیتی (LabMaster, Scientific solution) به صورت داده های رقی در آمد و در یک کامپیوتر IBM Compatible Pentium در نوع F_1 حلزون باعی گونه *Helix aspersa* در مقایسه با موج راست گوشه بررسی شده است.

Current Clamp *

روشی است که در آن با تزریق منظم جریانهای راست گوشه دیلاریزه کننده یا هیبریلاریزه کننده، می توان بدون آنکه پتانسیل غشا کلمب شود تغییرات آن را مشاهده کرد به عبارت دیگر در این روش وسیله ای برای برآنگبختن پاسخهای ولتاژی

1. Low-Voltage Activated
2. High-Voltage Activated

۱۴۳

در سلوالهای تحریک پذیر جریان کلیمی وابسته به ولتاژ نقش مهمی در اعمال متفاوت سلوالی از جمله ترشح ماده میانجی، انتباض، تحریک پذیری الکتریکی، رشد و تمایز سلوالی دارد (۶-۱).

در اکثر سلوالها بیش از یک نوع جریان کلیمی وجود دارد که هر یک ویژگی فارماکولوژیک و بیوفیزیکی خاص خود را دارد، به عنوان مثال در سلوالهای عصبی (۷)، سلوالهای ترشحی (۸) و سلوالهای عضلانی (۹) مهره داران، دو نوع جریان کلیمی با آستانه پایین^۱ و با آستانه بالا^۲ وجود دارد. مطالعات الکترو فیزیولوژیک و فارماکولوژیک نشان می دهد که جریان کلیمی با آستانه بالا در نورونهای محیطی دارای حداقل دو زیر گروه به نام N و S است. جریان کلیمی نوع S به آگونیستها و آنتاگونیستهای مشتقات Dihydropyridine حساس است در حالی که جریان نوع N توسط V-conotoxin GVIA مهار می شود (۱۰، ۱۱، ۱۲). در نورونهای سیستم اعصاب مرکزی علاوه بر جریانهای کلیمی نوع N و L جریانهای کلیمی کاتالالهای کلیمی نقش هر یک از آنها را در پتانسیلهای غشایی، مدت، دامنه و الگوی ارسال پتانسیل عمل (Bursting or Beating) مشخص کرده است (۱۵-۲۱). از آنجایی که اشکال متفاوت پتانسیلهای فرمانی و سرعت دیلاریزه و یا هیبریلاریزه کردن پتانسیل غشا می تواند کیتیک فعال و یا غیر فعال شدن کاتالالهای کلیمی را تحت تأثیر قرار دهد لذا مقایسه اثر اشکال متفاوت پتانسیلهای فرمانی می تواند اطلاعات بیشتری در مورد رفتار کاتالالها در پتانسیلهای مختلف غشایی در اختیار ما قرار دهد. به عنوان مثال پتانسیلهای فرمانی راست گوشه می توانند با هیبریلاریزاسیون آهسته غشا تأثیر متفاوتی بر ویژگیهای پتانسیل عمل داشته و تحریک پذیری سلوال را تغییر دهند (۲۲، ۲۳، ۲۴، ۲۵). در مطالعه حاضر، تأثیر شکل امواج شبه ذوزنقه ای بر ویژگیهای الکترو فیزیولوژیک جریان کلیمی نوع S غشا جسم سلوالی نورون F_1 حلزون باعی گونه *Helix aspersa* در مقایسه با موج راست گوشه بررسی شده است.

مواد و روشها

این مطالعه روی حلزونهای باعی (Iranian garden snail) گونه Helix aspersa از خانواده ترمستان با وزن $1-7/4$ گرم که از منطقه بالس در فصل بهار جمع آوری شده بودند انجام شد. حلزونها بلافاصله به آزمایشگاه گروه فیزیولوژی منتقل و شرایطی مشابه محل زیست آنها فراهم گردید. به علاوه حیوانات محدودیتی در دسترسی به غذا (برگ کلم) و آب نداشتند. کلیه آزمایشها بر روی نورون F_1 در گانگلیون پاریتال راست الجام شد. از چندین شاخص جهت شناسایی نورونهای F_1 استفاده شد که از آن جمله می توان از محل و اندازه نورون در سطح گانگلیون، وضعیت فرار گرفتن آن نسبت به اعصاب و



نتایج حاصل از کلمپ ولتاژ و ثابت زمانی فعال شدن و غیر فعال شدن جریان کلیمی به کمک نرم افزار Matlab مورد بررسی قرار گرفت و از برنامه Excel و Spss و Instat برای محاسبه میانگین و انحراف معیار داده‌ها و رسم منحنی‌های استفاده شد، برنامه آماری مورد استفاده t-test Paired بود و سطح معنی‌دار (P) کمتر از ۰/۰۵ در نظر گرفته شد. در داده‌های حاصل از ثبت Voltage-Clamp، برای استخراج جریان خالص کلیمی، جریان ظرفیتی تا آنجاکه مسکن بود با استفاده از Capacitance Neutralization کاهش داده می‌شد.

در این کار تحقیقاتی برای پردازش داده‌ها، از معادلات نمایی زیر استفاده شد:

$$I = A_0 + A_1 \exp^{\frac{-t}{T_1}} + A_2 \exp^{\frac{-t}{T_2}} + \dots$$

که در این معادله A_0 و A_1 دامنه جریان در زمان صفر و T_1 زمان و T_2 ثابت زمانی است، داده‌ها به صورت Mean \pm S.E.M ارائه گردیده‌است.

یافته‌ها

* ثبت پتانسیل‌های عمل کلیمی در نورونهای F1 ثبت پتانسیل‌های عمل کلیمی^۱ در نورون F1، پس از حذف جریانهای واپسیه به ولتاژ رو به داخل سدیمی و رو به خارج پتانسیل انجام شد. تحت این شرایط، زمانکه پتانسیل استراحت غشا به طور متوسط $35\pm1/4$ میلی‌ولت بود، پتانسیل‌های عمل کلیمی خود به خودی ظاهر می‌شدند (شکل ۱A). وجود کفه در پتانسیل‌های عمل کلیمی آنها را از پتانسیل عمل خود به خودی سدیمی ثبت شده در رینگ استاندارد متایز می‌کرد. از آنجایی که متوسط آستانه شلیک (Firing) $22/14\pm1/28$ میلی‌ولت بود، می‌توان آنها را قله‌های کلیمی با آستانه بالا (High threshold Ca²⁺ spikes) داند.

ویژگی‌های فارماکولوژیکی پتانسیل‌های عمل کلیمی نورون F1

پتانسیل‌های عمل کلیمی نورون F1 تنها پس از مهار جریانهای سدیمی و پتانسیل ظاهر می‌شدن، افزودن مهارکننده اختصاصی جریان کلیمی با آستانه بالا نوع لـ نیکدین (۱ میکرومolar)، به محلول فاقد سدیم و پتانسیم (Na⁺-K⁺+ free) موجود کاهش دامنه (P<0.01) و زمان تأخیر آستانه پتانسیل عمل کلیمی (P<0.05) و افزایش آستانه پتانسیل عمل کلیمی (P<0.05) و حذف کفه شد (جدول ۱)، اما توانست آن را به طور کامل ازین برد و فعالیت خود به خودی سلول ادامه داشت (شکل ۱B).

غشا فراهم می‌شود. در این مطالعه، پتانسیل عمل خود به خودی سلول در رینگ استاندارد قبل و بعد از حذف جریانهای سدیمی و پتانسیم ثبت شد و ویژگیهای آن مورد بررسی قرار گرفت. مدت پتانسیل عمل در نصف حداکثر دامنه پتانسیل عمل (Half-maximal amplitude) از سطح پتانسیل استراحت غشا تا قله پتانسیل عمل محاسبه شدند.

Voltage Clamp *

در روش Voltage - Clamp جریان به عنوان یک محرک به کار برده می‌شود و تغییرات پتانسیل غشا اندازه گیری می‌گردد. در این مطالعه با استفاده از ولتاژ کلمپ دو الکترودی (Standard two Electrodes Voltage-Clamp) بیوفیزیکی و الکترو فیزیولوژیکی جریان کلیمی با آستانه بالا نوع سلولی نورون F1، پتانسیلهای فرمانی دپلاریزه کننده راست گوشه با مرحله بالارو و پایین رو مربعی و کفه ۳۹۰ میلی ثانیه‌ای (Rectangular Command potential) و در روش دوم برای کلمپ ولتاژ، پتانسیلهای فرمانی شبه ذوزنقه‌ای با مرحله بالارو مربعی، کفه ۳۹۰ میلی ثانیه‌ای و مرحله پایین رو نمایی (Exponential trailing phase) به کار گرفته شد. در هر دو روش پتانسیل غشا با استفاده از مراحل ۱۰ میلی ولش به مدت ۳۹۰ میلی ثانیه از پتانسیلهای نگه دارنده ۴۰ و ۹۰ میلی ولت تا پتانسیل ۴۹۰ میلی ولت دپلاریزه می‌شد. همراه با تغییر ولتاژ غشا، مهار کننده‌های جریانهای پتانسیم و کلیمی نیز به محلول خارج سلولی افزوده می‌شد. محلولهای لازم برای آزمایش جریانهای کلیمی ترکیب رینگ استاندارد خارج سلولی بقرار زیر بود:

MgCl₂ (۱۰ میلی مolar)، CaCl₂ (۱۰ میلی مolar)، KCl (۵ میلی مolar)، HEPES (۵ میلی مolar) (۲۷).

در محلول فاقد سدیم-پتانسیم، TEA^۲ (۸۴ میلی مolar) چایگزین پتانسیم و سدیم خارج سلولی می‌شد همچنین جریانهای رو به خارج پتانسیمی، از طریق تزریق ایستفرز TEA آن به داخل جسم سلولی نورون F1 (۵/۰ مolar)، با جریان ۵+ نانوآمپر به مدت ۱۵ دقیقه، و افزودن ۴-AP (۵ میلی مolar)، به محلول پرفیوژن نیز مهار می‌گردید. برای Nifedipine مهار جریان کلیمی فعال شده در ولتاژهای بالا (HVA) از (۱ میکرومolar) محلول در اتانول ۳/۰ درصد به صورت خارج سلولی استفاده شد. اسمولاریته محلولهای مورد استفاده توسط اسموتر (Osmo mat 030 Gonotec Co.) اندازه گیری شد. اسمولاریته رینگ استاندارد ۲۰۶/۲۵±۱/۷۰ و اسمولاریته رینگ فاقد سدیم و پتانسیم ۱۹۶/۲۳±۱/۴۵ میلی اسمول بر کیلوگرم آب بود. تنظیم pH محلولهای مورد استفاده در حد ۷/۶-۷/۸ از طریق Trizma base و Trizma hydrochloride انجام می‌شد. مواد شیمیایی مورد نیاز از کارخانه سیگما و آلدربیج تهیه شده بود.

روشهای تجزیه و تحلیل داده‌ها

1. 4-(2-Hydroxyethyl)-1-piperazineethanesulphonic acid
2. Tetraethylammonium chloride
3. 4-Aminopyridine
4. Calcium spikes



جدول ۱: بررسی ویژگیهای پتانسیل عمل خودبیخودی نورون F₁ در رینکر استاندارد و رینکر

فاقد سدیم و پتانسیم قبل و بعد از اضافه کردن نیفیدیپین

ویژگیهای پتانسیل عمل محلول	دامنه پتانسیل (mV)	مدت پتانسیل (ms)	فرکانس پتانسیل عمل (Hz)	آستانه پتانسیل عمل (mV)	زمان تأخیر عمل (ms)
رینکر استاندارد	-۶۱/۰۳±۲/۲۸	۶/۰۷±۰/۰۸۹	*/۱۴±۰/۰۷	-۳۳/۸۵±۲/۱۲	۴۱/۶۶±۰/۰۲۹
رینکر فاقد سدیم و پتانسیم	۷۵/۰±۳/۶۴**	۲۲۶/۶±۱۲/۰**	۱/۰±۰/۰۰۰	-۳۱/۱۴±۱/۰۸	۴۷/۸±۰/۰۵/۸۹**
رینکر فاقد سدیم و پتانسیم + نیفیدیپین	۵۱/۰±۲/۰۰۰	۱۸۷/۰±۲/۰۰۰	۱/۰±۰/۰۰۰	-۴۷±۱/۰*	۵۳/۶±۱۵/۲۲**

روش الکتروفیزیولوژیک

در رینکر فاقد سدیم و پتانسیم برای تشکیک جریان کلیمی با آستانه بالا از نوع L از جریان کلیمی با آستانه پایین از پتانسیل نگهدارنده ۴۰-۴۵ میلی ولت استفاده شد. در پتانسیلهای فرمانی دپلاریزه کننده ۴۰-۴۵ تا ۹۰-۹۵ میلی ولت، حداکثر جریان، ولتاژ حداکثر جریان و ولتاژ آستانه به ترتیب ۹۶±۰/۰۰۰-۳/۵۴±۰/۰۰۰ نانو آمپر، ۳۲/۵±۱/۰۶ و ۷/۱۷±۱/۰۲ میلی ولت و پتانسیل معکوس آن در حدود ۴۰ میلی ولت بود. شکل ۲A و ۲B به ترتیب جریان رو به داخل کلیمی را در ولتاژهای مختلف از پتانسیل نگهدارنده ۴۰-۹۵ میلی ولت و ارتباط ولتاژ - جریان را در این پتانسیل نگهدارنده نشان می دهد (n=8).

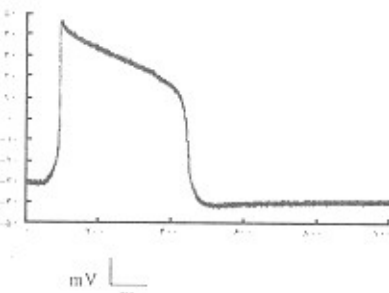
روش فارماکولوژیک

در این روش تأثیر آتناگونیست اختصاصی و انتخابی جریان کلیمی با آستانه بالا نوع L مورد بررسی قرار گرفت. در پتانسیل نگهدارنده ۹۰-۹۵ میلی ولت، نیفیدیپین (۱ میکرومولا)، آتناگونیست اختصاصی کانالهای کلیمی نوع L درصد جریان حداکثر بوسیله پتانسیل نگهدارنده ۴۰-۴۵ میلی ولت، ۵۰ درصد جریان حداکثر نیفیدیپین مهار شد. در پتانسیل نگهدارنده ۹۰-۹۵ میلی ولت متوسط حداکثر جریان، ولتاژ حداکثر جریان و آستانه فعال شدن جریان مقاوم به نیفیدیپین به ترتیب ۰/۳±۰/۰۱-۷/۸۸±۰/۰۱-۷/۳ نانو آمپر، ۲/۰±۰/۰۳-۲/۸±۰/۰۴-۲/۸±۰/۰۵ میلی ولت بود و پتانسیل معکوس آن در حدود ۴۳/۸±۰/۰۵-۴۳/۸ میلی ولت بود (شکل ۲C). در پتانسیل نگهدارنده ۴۰-۴۵ میلی ولت متوسط حداکثر جریان، ولتاژ حداکثر جریان و آستانه فعال شدن این جریان به ترتیب ۰/۰۵±۰/۰۱-۷/۷۷±۰/۰۱-۷/۱ نانو آمپر، ۰/۰۴±۰/۰۳-۰/۰۵±۰/۰۴ میلی ولت بود و پتانسیل معکوس آن در حدود ۴۳/۵ میلی ولت بود (شکل ۲D) (n=7-۹A).

ثابت زمانی فعال شدن و غیر فعال شدن جریان کلیمی در حضور ۱۰ میلی مولار کلیم خارج سلولی، ثابت زمانی فعال شدن و افت جریان کلیمی در پتانسیل نگهدارنده ۴۰-۴۵ میلی ولت با استفاده از بیش از یک جزء نسبی (Exponential component) به دست آمد ($n > 1$), به عبارت دیگر فعال و غیر فعال شدن جریان کلیمی مستلزم بیش از یک ثابت زمانی بود. ثابت زمانی فعال شدن جریان کلیمی با آستانه بالای نوع L در ۲۱-۲۲ میلی ولت، ۰/۳۳±۰/۰۶-۰/۰۷ میلی ولت،

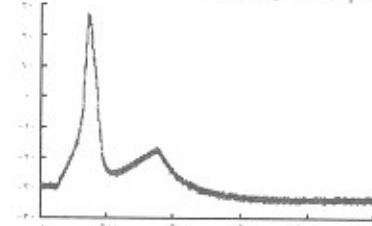
A

Na⁺-K⁺ free solution
+ TEA (84 mM)+4 - AP (5mM)



B

Na⁺-K⁺ free solution
+ TEA (84 mM)+4 - AP (5mM)
+ nifedipine (1µM)

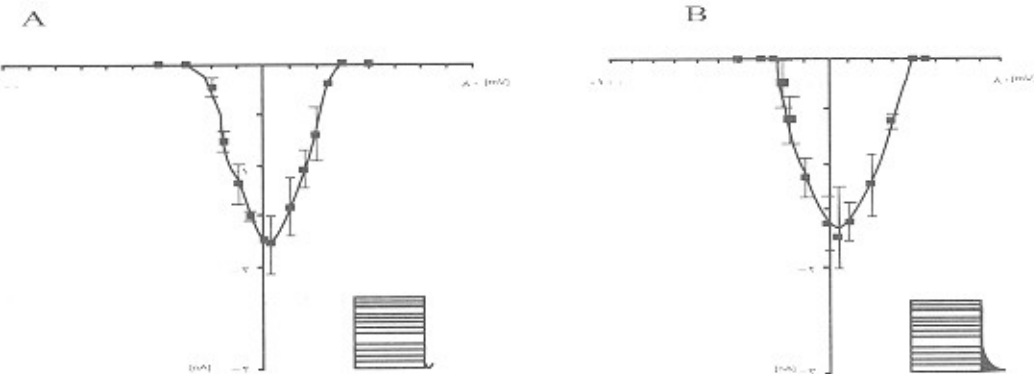


شکل ۱: فعالیت خود به خودی نورون F₁ در رینکر فاقد سدیم و پتانسیم قبل (A) و بعد از اضافه کردن نیفیدیپین به مایع خارج سلولی (B) ادامه می یابد.

بررسی ویژگیهای الکتروفیزیولوژیک جریان کلیمی با آستانه بالا نوع L در جسم سلولی نورون F₁ با استفاده از روش Two-electrode voltage clamp

الف - روش متداول استفاده از پتانسیلهای فرمانی دپلاریزه کننده راست گوش

- در رینکر فاقد سدیم و پتانسیم، پس از حذف جریانهای رو به خارج پتانسیمی و جریان رو به داخل سدیمی، ۶۵ درصد جریان رو به داخل باقی ماند که احتمالاً توسط یون کلسیم حمل می شد. به منظور شناسایی انواع کانالهای کلیمی در جسم سلولی نورون F₁ از دو روش استفاده شد:



شکل ۳: ارتباط جریان - ولتاژ جریان کلسمی مقاوم به نیکدیپین جسم سلولی تورون ۱ در پتانسیلهای فرمانی راست گوشه مختلف از پتانسیل نگهدارنده -۹۰ میلیولت (A) و ارتباط جریان - ولتاژ این در پتانسیلهای فرمانی نیمه ذوزنقه‌ای مختلف از پتانسیل نگهدارنده -۹۰ میلیولت (B) پس از افزودن نیکدیپین (۱ میکرومولار) به رینکر فاقد سدیم پتانسیم



شکل ۴: ارتباط جریان - ولتاژ جریان کلسمی مقاوم به نیکدیپین جسم سلولی نورون ۱۷ در پتانسیلهای فرمانی راست گوشه مختلف از پتانسیل نگهدارنده -۴۰ میلیولت (A) و ارتباط جریان - ولتاژ این جریان در پتانسیلهای فرمانی نیمه ذوزنقه‌ای مختلف از پتانسیل نگهدارنده -۲۰ میلیولت (B) پس از افزودن نیکدیپین (۱ میکرومولار) به رینکر فاقد سدیم پتانسیم

جدول ۲: مقایسه ویژگیهای الکتروفیزیولوژیک جریانهای رو و به داخل جسم سلولی نورون ۱۷ در پتانسیلهای نگهدارنده -۹۰ و -۴۰ میلیولت در رینکر مستاندار و رینکر فاقد سدیم و پتانسیم قبل و بعد از اضافه کردن نیکدیپین با استفاده از پتانسیلهای فرمانی نیمه ذوزنقه‌ای و مستطیلی

رینکر فاقد سدیم	رینکر فاقد سدیم + نیکدیپین	سدیم - پتانسیم	رینکر استاندارد	پتانسیل نگهدارنده (mV)	استاندۀ جریان (mV)
-۹۰/۹۴±۰/۲۰	-۹۷/۸۷±۰/۱۱	-۹۶/۰۲±۰/۰۲	-۹۰	Rectangular	(mV)
-۲۰/۰۷±۰/۰۷	-۳۵/۲۷±۰/۰۷	-۵۲/۴۲±۰/۰۷	-۹۰	Quasitrapezoidal	
۲/۷۸±۰/۰۷	۶/۱۴±۰/۱۲	-۱/۶۳±۰/۰۷	-۹۰	Rectangular	(mV)
۷/۶۴±۰/۰۷	۵/۱۸±۰/۱۲	-۱۰/۸۲±۰/۱۱	-۹۰	Quasitrapezoidal	
۱/۷۸±۰/۰۷	-۷/۳۶±۰/۰۷	-۵/۷۵±۰/۰۷	-۹۰	Rectangular	(mV)
-۱/۶۱±۰/۰۷	-۲/۱۳±۰/۰۷	-۸/۱۵±۰/۱۰	-۹۰	Quasitrapezoidal	
-۳۷/۸۵±۱/۰۵	-۳۷/۵۳±۱/۰۷	-۳۷/۰±۱/۷۹±۰	-۹۰	Rectangular	(mV)
-۲۷/۰۵±۰/۱۳	-۲۸/۷۲±۰/۰۷	-۴۲/۲۸±۰/۰۷	-۹۰	Quasitrapezoidal	
۴/۱۷±۰/۰۷	۷/۱۷±۰/۱۰	-۰/۰۷±۰/۰۷	-۹۰	Rectangular	(mV)
۰/۱۴±۰/۰۷	۷/۶۱±۰/۰۷	-۸/۳۳±۰/۰۷	-۹۰	Quasitrapezoidal	
-۱/۷۷±۰/۰۷	۷/۰۴±۰/۰۷	-۹/۲۰±۰/۱۰	-۹۰	Rectangular	(mV)
۱/۳۶±۰/۰۷	-۷/۲۹±۰/۰۷	-۳/۶۱±۰/۰۷	-۹۰	Quasitrapezoidal	

دست آمد (۱) (n). ثابت زمانی فعلان شدن جریان کلسمی در -۲۱ میلیولت، $۱/۱۷\pm۰/۱۷$ میلی ثانیه و در $+۱۰$ میلیولت، $۰/۱۵\pm۰/۰۷$ میلی ثانیه بود، چنانکه در پتانسیلهای مشتمل بر سرعت فعلان شدن جریان کلسمی بیشتر می‌شد.
ثابت زمانی افت جریان کلسمی در -۲۱ میلیولت،

ثبت زمانی فعلان شدن و غیر فعلان شدن جریان کلسمی ثبت شده با استفاده از پتانسیلهای فرمانی شبه ذوزنقه‌ای: در حضور ۱۰ میلی مولار کلسمی خارج سلولی؛ ثابت زمانی فعلان و غیر فعلان شدن جریان کلسمی در پتانسیلهای نگهدارنده -۹۰ و -۴۰ با استفاده از بیش از یک جزء نمایی (Exponential component) به

- dissection of high-voltage-activated Ca^{2+} current types in acutely dissociated rat supraoptic magnocellular neurons. *J Neurophysiol* 1996; 76(2): 977-983
4. Gao BX, Ziskind-Conhainn L: Development of ionic currents underlying changes in action potential waveforms in rat spinal motoneurons. *J Neurophysiol* 1998; 80(6): 3047-3061
 5. Haydon PG, Man-Son-Hing H: Low- and High-Voltage-Activated calcium currents: Their relationship to the site of neurotransmitter release in an identified neuron of *Helisoma*. *Neuron* 1988; 1: 919-927
 6. Huang SJ, Robinson DW: Activation and inactivation properties of voltage-gated calcium currents in developing cat retinal ganglion cells. *Neuroscience* 1998; 85(1): 239-247
 7. Yarri Y, Hamon B, Lux HD: Development of two types of calcium channels in cultured mammalian hippocampal neurons. *Science* 1987; 235: 680-682
 8. Matteson DR, Armstrong CM: Properties of two types of calcium channels in clonal pituitary cells. *J Gen Physiol* 1986; 87: 161-182
 9. Benham CD, Hess P, Tsien RW: Two types of calcium channels in single muscle cells from rabbit ear artery studied with whole-cell and single-channel recordings. *Cir Res* 1987; 61: 1-10, 1-16
 10. Yu B, Shinnick-Gallagher P: Dihydropyridine and neurotoxin-sensitive and insensitive calcium currents in acutely dissociated neurons of the rat central amygdala. *J Neurophysiol* 1997; 77(2): 690-701
 11. Dunlap K, Luebke JL, Turner TJ: Exocytotic Ca^{2+} channels in mammalian central neurons. *Trends in Neuroscience* 1995; 18: 89-98
 12. Kammermeier PJ, Jones SW: High-voltage activated calcium currents in neurons acutely isolated from the ventrobasal nucleus of the rat thalamus. *J Neurophysiol* 1997; 77(1): 465-475
 13. Mintz IM, Adams ME, Bean BP: P-type calcium channels in rat central and peripheral neurons. *Neuron* 1992; 9: 85-95
 ۱۴. پلوج نژاد مجرد توراندخت، جان احمدی مهیار: بررسی ویژگیهای الکتروفیزیولوژیک و فارماکولوژیک جریانهای کلیپسی و تنش آتشا در تحریک پذیری سلول F₁ در حلزون باغی (Helix aspersa) با استفاده از روش ثبت داخل سلولی (Current and Voltage - Clamp). ۱۳۷۸: ۱۲۱-۱۲۰.
 15. Raman IM, Bean BP: Ionic currents underlying spontaneous action potentials in isolated cerebellar purkinje neurons. *J Neurosci* 1999; 19(5): 1663-1674
 16. Shuttleworth CW, Smith TK: Action potential-dependent calcium transients in myenteric S neurons of the guinea-pig ileum. *Neuroscience* 1999; 92(2): 751-762
 17. Sundgren-Andersson AK, Johansson S: Calcium spikes and calcium currents in neurons from the medial preoptic nucleus of rat. *Brain Res* 1998; 783: 194-209
 18. Tennigkeit F, Schwarz DW, Puil E: Modulation of bursts and high-threshold calcium spikes in neurons of rat auditory thalamus. *Neuroscience* 1998; 83(4): 1063-1073
 19. Viana F, Bayliss DA, Berger AJ: Calcium conductances and their role in the firing behavior of neonatal rat hypoglossal motoneurons. *J Neurophysiol* 1993; 69: 2137-2149
 20. Zhan XJ, Cox CL, Rinzel J, Sherman SM: Current clamp and modeling studies of low-threshold calcium spikes in cells of the cat's lateral geniculate nucleus. *J Neurophysiol* 1999; 81(5): 2360-2373
 21. Swandulla D, Lux HD: Activation of a nonspecific cation conductance by intracellular Ca^{2+} elevation in bursting pacemaker neurons of *Helix pomatia*. *J Neurophysiol* 1985; 54: 1430-1443
 22. Fang ZP, Mortimer JT: Alternate excitation of large and small axons with different stimulation waveform: an application to muscle activation. *Med Biol Eng Comput* 1991a; 29: 543-547
 23. Fang ZP, Mortimer JT: Selective activation of small motor axons by quasitrapezoidal current pulses. *IEEE Trans Biomed Eng* 1991b; 38: 168-174
 24. Gorman PH, Mortimer JT: Effect of stimulus parameters on recruitment with direct nerve stimulation. *IEEE Trans Biomed Eng* 1986; 30: 407-414
 25. Fang ZP, Mortimer JT: A method to effect physiological recruitment order in electrically activated muscle. *IEEE Trans Biomed Eng* 1991c; 35(2): 175-179
 26. Kerkut GA, Lambert JDC, Gayton RJ, Loker JE, Walker RJ: Mapping of nerve cells in the suboesophageal ganglia of *Helix aspersa*. *Comp Biochem Physiol* 1975; 50A: 1-25
 27. Taylor PS: Selectivity and patch measurement of A-current in *Helix aspersa* neurones. *J Physiol* 1987; 388: 437-447

